

V-51 軽量コンクリートの乾燥収縮と拘束ひびわれ

鳥取大学 正員 工修。阪田 嘉次
 鳥取大学 正員 工博 木山 英郎
 鳥取大学 正員 工博 西林 新蔵

1. はしがき

軽量コンクリートの乾燥収縮については、内外の多数の研究者によって、種々な側面より研究され、その成果が報告されてゐる。しかし、乾燥収縮とひびわれの関係についての検討を行なつたものはほんの少く、西林¹⁾、塙山²⁾らの研究があるのみである。前者は引張りクリープと乾燥収縮から「曲げ引張抵抗係数」を求めてものであり、後者は乾燥収縮から「ひびわれ指数」を算出している。

しかしながら、ハザードの場合も実際のひびわれを観察し、それとの対比で論じたものではない。

本研究は、拘束供試体に乾燥収縮によるひびわれを発生させ、それとは別に作成した無拘束の供試体で測定した乾燥収縮ひずみ、強度および弾性係数より、ひびわれに対する抵抗性を表わす指標を求め、さらに人工軽量骨材の吸水量、吸水状態、水セメント比および環境条件が、ひびわれに対する抵抗性におよぼす影響について論じたものである。また、それらが乾燥収縮、強度および弾性係数におよぼす影響についても検討を加えた。

2. 実験概要

本実験に使用した骨材は、天然骨材（吸水量：粗骨材；1.21%，細骨材；1.23%），造粒型人工軽量骨材ライオナイト（吸水量：粗骨材；2.30%，細骨材；4.00%）および非造粒型人工軽量骨材宇部輕骨（吸水量：粗骨材；13.0%，細骨材；11.9%）の3種類である。セメントは大阪社製普通ポルトランドセメントを用いた。その他の試験条件は、表-1に示す通りである。

表-1 試験条件

供試体種別	セメントペースト(FP) モルタル コンクリート(C)	天然骨材 ライオナイト(L) 宇部輕骨(U)	セメントペースト モルタル コンクリート
CN	350	140	46
	50	175	43
	60	210	40
CLO	40	140	46
	50	175	43
	60	210	40
CLM	40	140	46
	50	175	43
	60	210	40
CLA	40	140	46
	50	175	43
	60	210	40
CUO	40	140	46
	50	175	43
	60	210	40
CUM	40	140	46
	50	175	43
	60	210	40
CUA	40	140	46
	50	175	43
	60	210	40
MN	576	231	1416
	50	288	1270
	60	346	1121
MLO	40	231	929
	50	288	833
	60	346	736
MLM	40	231	948
	50	288	850
	60	346	745
MLA	40	231	966
	50	288	866
	60	346	758
MUO	40	231	868
	50	288	779
	60	346	688
MUM	40	231	918
	50	288	824
	60	346	775
MUA	40	231	969
	50	288	869
	60	346	732
P	30 / 619 40 / 1367 50 / 1222	486 566 612	

表-2 配合表 ポーリス No.8
 $C \times 0.25\%$

供試体	C	W	S/A	S	G
CN	350	140	46	860	1065
	50	175	43	771	"
	60	210	40	681	"
CLO	40	140	46	565	512
	50	175	43	525	"
	60	210	40	447	"
CLM	40	140	46	576	518
	50	175	43	516	"
	60	210	40	452	"
CLA	40	140	46	588	524
	50	175	43	529	"
	60	210	40	460	"
CUO	40	140	46	527	512
	50	175	43	473	"
	60	210	40	418	"
CUM	40	140	46	558	525
	50	175	43	500	"
	60	210	40	460	"
CUA	40	140	46	588	579
	50	175	43	527	"
	60	210	40	505	"
MN	576	231	1416		
	50	288	1270		
	60	346	1121		
MLO	40	231	929		
	50	288	833		
	60	346	736		
MLM	40	231	948		
	50	288	850		
	60	346	745		
MLA	40	231	966		
	50	288	866		
	60	346	758		
MUO	40	231	868		
	50	288	779		
	60	346	688		
MUM	40	231	918		
	50	288	824		
	60	346	775		
MUA	40	231	969		
	50	288	869		
	60	346	732		
P	30 / 619 40 / 1367 50 / 1222	486 566 612			

供試体は打設後24時間実験室中（室温）に放置し、脱型後ただち

に、乾燥収縮測定用供試体($10 \times 10 \times 40$ cm)K, ひずみ測定用のボイントゲージをはりつけた。その後すべての供試体を二組に分け、高温恒温室($90 \pm 5\%$, 20°C), 低温恒温室($50 \pm 5\%$, 20°C)にとめて搬入した。

供試体数は、高温、低温恒温室に、拘束供試体、乾燥収縮測定用供試体を含む3組ずつで、一配合につき合計6組ずつである。強度、弾性係数測定用供試体(10×20 cmシリンドー供試体)は12本ずつ、合計24本である。

乾燥収縮ひずみの測定は、恒温室へ供試体を搬入した直後より開始した。なお、ひずみ測定にはフーテンベルガー型ひずみ計(検長10インチ)を用いた。ひがわれ観察用の拘束供試体は、図-1に示すように、コンクリート(モルタル、セメントペースト)中にボルトを埋め二片、鋼製の型ワクにナットで固定して変形を拘束した。そして、乾燥収縮により発生する応力によって供試体中央部にひがわれが発生するよう考慮し、乾燥収縮測定用供試体と同様に保存してひがわれを観察し、1種類6面中3面にひがわれが発生した日をもって、ひがわれ発見日と定めた。また、シリンドー供試体も同様に保存し、打設後4週目とひがわれ発見日に、圧縮強度、引張強度(spalling test), 弾性係数を測定した。

3. 実験結果と考察

実験は現在継続中で、表-2に示した全配合についての実験結果は講演会当日に発表する予定にし、本文では一部その結果が出たものについて述べる。

図-2～8は、乾燥収縮と時間の関係を示すものである。

測定開始後まことに時間が経過していくものもあるため、即断するとはできないが、従来より指摘されていいるように、乾燥収縮は供試体と環境との間の湿度勾配に起因するシーページ効果であるといふことがうかがわれる。すなわち、低温中に保存した供試体の乾燥収縮は、高温中のそれよりもはるかに大きい。さらに、水セメント比の大なるものほど乾燥収縮の最終値は大きくなるようである。

また、図-7, 8によれば、骨材の吸水量の大なるものは、小なるものよりも、乾燥収縮量が若干大きくなるようと思われる。すなわち、骨材の吸水量の大なるものでは、骨材中の水分が徐々に逸散するため、初期の立ち上がりは小さいが、収縮量の増加が持続し、最終的には吸水量の小なるものよりも収縮量が大きくなる。また、水セメント比の相異による収縮量の違いも、吸水量の小なる骨材を用いた供試体では、顯

図-1 拘束供試体 (単位:mm)

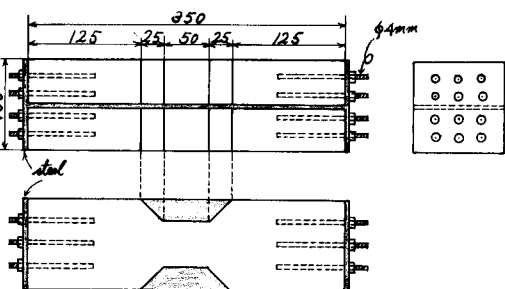


図-2 乾燥収縮 (P-30, 40, 50)

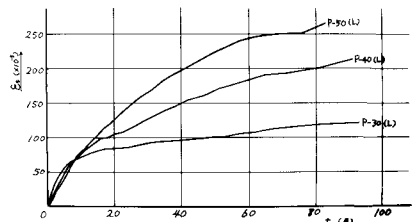
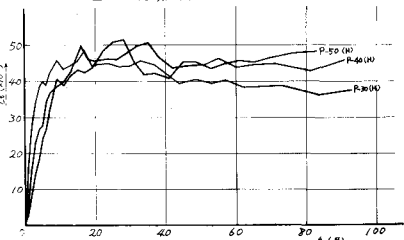


図-3 乾燥収縮 (P-30, 40, 50)



著ではないようである。図-4、5のモルタルについても同様の傾向がみられる。

表-3は、強度、弾性係数の測定結果ならびに拘束ひびわれ実験の結果を一括して示したもので、空欄になつてゐるところはまだ結果の出ていないものである。

供試体打設後4週目に測定した強度、弾性係数については若干の例外はあるが、一般に水セメント比の小さなものほどその値が大きくなっている。また、二の傾向は、低温中に保存した供試体よりも、高温中のものにおいて顕著である。これは低温中に保存した供試体では、強度が発現する戻食の初期における供試体中の水分の逸散が大きいため、水和物が生成され、硬化する過程における水セメント比の影響が小さくなるためではないかと思われる。

つぎに拘束ひびわれ実験の結果について考察する。

ひびわれ発見日に測定した弾性係数(E_t)より、拘束供試体の断面縮小によるひずみ倍率: α (拘束供試体の縮小部のひずみが拘束式ではない供試体のひずみの何倍かを示す係数; 計算式省略)を求め、ひびわれ発見日の乾燥収縮ひずみ(ε_t)より、次式によつて拘束供試体中に発生しある応力(σ)を求めていた。

$$\sigma = E_t \varepsilon = E_t \alpha \varepsilon_t \quad \dots \dots \quad (1)$$

さらに、ひびわれ発見日の強度(f_t)との比(ひびわれに対する抵抗値)を求めていた。

$$\frac{\sigma}{f_t} = E_t \alpha \varepsilon_t / f_t \quad \dots \dots \quad (2)$$

まずセメントペーストについて考察すると、引張強度との比で示したひびわれに対する抵抗値は、2.00～3.00の範囲にあるが、詳細にみれば、低温中に保存した供試体の抵抗値は、高温中に保存したものよりも小さくなつてゐる。また二のことは、強度として供試体間の変動の小さい圧縮強度との比で示した抵抗値において、より明らかである。これは低温中のものは内部構造がまだ十分に安定に対しあるが、戻食(3日～5日)でひびわれが発生したのにに対し、高温中のものは、戻食がさらに進んだ後(10日～20日)であるため、内部構造のひびわれに対する抵抗値が大きくなつた二に起因するものであると考えられる。換言すれば、ひびわれの発生は、乾燥収縮により発生する応力と、それがもつて引張強度(まことに圧縮強度)との対比により一意的にきまるものではなく、水和反応の進行段階による内部構造とのもののひびわれに対する抵抗性の相異に影響されるという二のが推察される。以上二のことは、戻食28日ににおける強度、弾性係数を用いて計算した、高温中に保存したP-30の

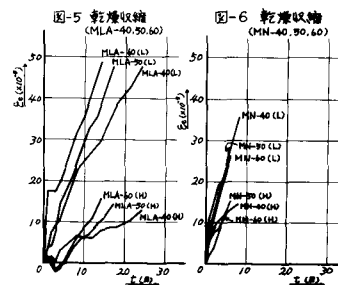
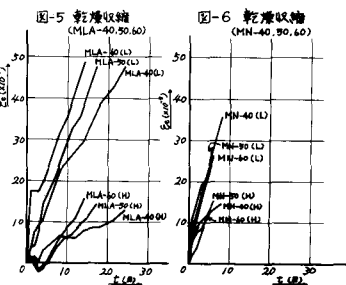
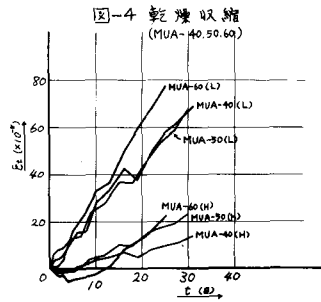


図-7 乾燥収縮 (CUA-40, 50, 60)

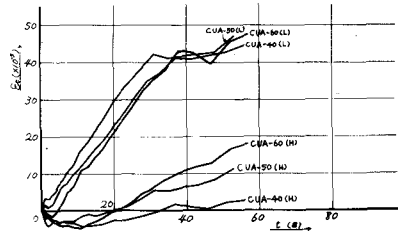
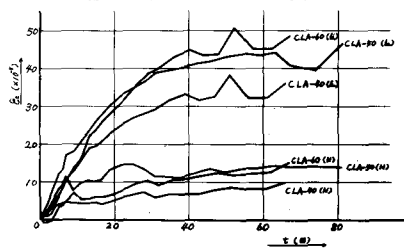


図-8 乾燥収縮 (CLA-40, 50, 60)



供試体の抵抗値が圧縮強度との比で0.14、引張強度との比で2.30になつてゐるが、まだひびわれを発生してはゐないことがわからぬ。

つぎにモルタルにつけてみると、軽量砂と用いたモルタルの抵抗値はコンクリートやセメントペーストの値に比べ、一般に大きい。これはモルタルの乾燥収縮がコンクリートのそれよりも大きいか、強度には差異がなかったためであり、モルタルの強度の発現が、初期においてコンクリートのそれよりもはやかになつたのではないかと思われる。

一方、造粒型骨材を用いたコンクリート(CLA)と非造粒型骨材を用いた(CUA)を比較してみると、CUAシリーズの供試体では、低温中に保存したもののはひびわれが発生しているが、CLAシリーズの供試体はまだひびわれを発生していない。

図-4、5より乾燥収縮を比較しても大差はない、表-3のO₂₈にも差がない。さらに2で述べたとく、単位セメント量、単位水量、粗骨材の体積率も同一である。したがつて両者間の相異は骨材の吸水量のみである。よって、CLAシリーズとCUAシリーズで上述のような相異が出た原因は、骨材中の自由水の挙動にあること推察されるが、その機構については現在

のところ明らかでない。この点に関しては、継続して行なう絶乾状態、気乾状態の骨材を用いた実験の結果を考慮し、検討を加えることにしたい。このような現象はモルタルによつてもみられるようである。

以上、現在までに結果の出たものについて簡単に述べたが、この種の実験における乾燥収縮が進行する過程と強度が発現する過程とが同時に起るため、前述したとく、乾燥収縮量の多寡のみに依り論じることはできない。また、ひびわれに対する抵抗値は、供試体の拘束の程度、伸び能力、引張りクリーフ等の影響を考慮して求めなければならぬ。とくに、若乾令における引張りクリーフの影響は大きいと思われる。これらについては今後引き続き検討を行なうことにしておきたい。

〈参考文献〉

- 1) 西林、梅本、「コンクリートの引張クリーフに関する実験」セメント技術年報XVI, 1962
- 2) 塚山、「各種セメントを用いたコンクリートの乾燥収縮および乾燥による強度変化」、コンクリートジャーナル, Vol.8, No.6, June, 1970

表-3 実験結果

供試体	O ₂₈ (mm) (mm)	O ₂₈ (mm) (mm)	E ₂₈ (mm) (mm)	O ₅ (mm) (mm)	E ₅ (mm) (mm)	E ₅ (mm) (mm)	α (%)	E (mm) (mm)	O (mm) (mm)	O _{7/10} (mm) (mm)	O _{7/15} (mm) (mm)
P-30	L 553	21.4	176	457	246	198	41.6	0.83	36.5	68.3	0.15
	H 669	325	247								
P-40	L 253	16.7	104	257	13.6	137	30.9	1.00	30.5	46.8	0.16
	H 371	21.3	192	321	23.9	180	46.1	0.87	40.1	52.2	0.22
P-50	L 171	12.6	9.94	144	11.9	102	25.5	1.14	29.1	29.7	0.31
	H 234	12.5	1.2	180	19.4	1.41	32.8	0.99	37.4	52.7	0.30
MUA	L 185	18.2	129	221	17.2	129	27.9	1.06	29.5	38.2	0.17
	-40 H 349	28.0	1.77								
MUA	L 245	18.8	149	261	11.8	123	36.9	0.95	35.1	43.7	0.21
	-50 H 377	26.8	1.86								
MLA	L 198	19.3	1.26	179	13.5	1.53	43.1	0.95	40.9	62.6	0.35
	-60 H 276	20.5	1.66								
MLA	L 259	21.4	1.41								
	-40 H 322	23.9	1.56								
MLA	L 212	17.0	1.21								
	-50 H 291	23.5	1.55								
MLA	L 179	17.7	1.17	164	14.0	126	48.8	1.04	50.3	64.0	0.39
	-60 H 229	20.9	1.43								
MN	L										
	-40 H										
MN	L										
	-50 H										
MN	L										
	-60 H										
CUA	L 232	21.7	132	227	21.4	1.21	22.9	1.02	23.4	38.7	0.14
	-40 H 252	21.9	1.75								
CUA	L 136	12.1	0.95	130	15.9	1.06	21.6	1.10	23.8	26.4	0.20
	-50 H 142	18.5	1.32								
CUA	L 137	11.7	1.20	150	13.2	1.11	23.9	1.12	25.6	27.1	0.18
	-60 H 188	24.6	1.39								
CLA	L 219	18.9	1.60								
	-40 H 288	26.6	2.24								
CLA	L 100	18.4	1.29								
	-50 H 216	20.6	1.71								
CLA	L 100	14.0	1.29								
	-60 H 153	18.8	1.74								

写真-拘束供試体のひびわれ

